

Rb-Li

Di Rb J. M. Walter, S. Barrat 1928
Proc. Roy. Soc. London, 1928, A 119
Lead-silver 5 monos P25%
3 ad. 5800 - 5680 A.D.

(1)

Cu.

~~ZnPb~~

ZiRB

W. Weizell, M. Kulp. 1930

Ann. Physik 1930, 4, 971-84

$w_e^1 = (81)$, $w_e^{11} = (185)$

[2]

Lbb C.M.D. Clark. 1937
Fraus. Far. Soc. 1954, 33,
1930

$$\text{We}'' = 149.8.$$

[3]

RBZi.

Shashanka Shekhar 1955
Mita

Z. f. Physiol., NS, 53(1955)

Pacemaker occurrence during work

We = 179.8 (Kuapu) ^{seed.}

We = 179.1 (Knee pacem.)

[4]

Cur. Temp

ZiRb

Q. ll. Чигорин 1956
ДАН СССР 110, 549, 1956.

ES J

Десятировное шерстяное
и гуттас сбруи.

YiPb | Mojumdar R.. 1962.
Proc. Natl. Acad. Sci.

Judia 1962, A32, N3, 335.

(7) (B99-3538-A)

X 5 0 (185)

B (1982) (81) B ← X

Ce Tepp



L.R.B.Y+

B9²-6046-X

1965

Platel G.,

(A.P.) J. Chem. phys. et phys. chem. biol.,
1965, 62, N10, 1976-80

Li Rb

A-1443

1967

Goodfriend P.Z.,

Canad. J. Phys., 1967,

45, N10, 3425-27.

(W)

1568

Li Rb

Коваленок Г. В.

нуб. В93, деревня, 1, №5,
130.

одеты
расшиты
искусственны

(ав. Nak) III

LiB₂⁺

Strebe W.S.

1970

D₀,

2_B

(X)

BPP + 5294 - X

1970, 4, 3, 382.



(Cer. Li₂⁺)III

RbLi

Dagdigian Paul J; et al. | 1972

"J. Chem. Phys", 1972, 57,
N 4, 1487-96.

Мо.
Снекта

"Опытное био. исследование
рекомендуемых снектов. Мод. метод.
изучения ядерных измерений...
(ал. RLi, III).

1974

LiRbt

M. N.
haemus

Boldorondo L. et al.,
J. CDM等着, 1974, 61,
No, 3225-29.



(cav. Li_2^+ ; --^-)

50226.4832

40150

02

1974

Ph, TC, Ch

LiRb

2955

Chang Chin-An. Empirical calculations of force constants, dissociation energies, and bond lengths for diatomic molecules.

"High Temp. Sci.", 1974, 6, N 4, 276-283

(англ.)

0309 ник

280 285

0301

ВИНИТИ

Rb Li	Sannigrabi A.B. et al.	1974
	"Mol. Phys" 1974, <u>27</u> , N1 269-272 (авг)	
номенк.	Расчеты температурные свойства атомных молекул и молекул ионов атомов и молекул вспышки определены с помощью расчетных обработка.	
химии		

phi 1974 N7.

(au Na Li, III)

Зак. 247

RbLi
48УИ

Абраменков А.В

1975

До

Автореф. дис. ... канд. хим.
наук. М.: МГУ, 1975

202

RbLi



До

Ziff.

1975

Cataliere P; et al.

J. Chem. Phys.

Ti, Ni-W

1975, 62(12). 4753-6

(ac₂TiNa; III)

Li Rb

1976

Чубинов М. А. у gp

ДАН СССР, 1976, 93(6),
1339 - 42.

(ze, ω_0)

(act. Li₂, III)

Zi Rb

1976

Boeyens J.C.A., et al.

J. S. Afr. Chem. Inst.
1976, 29, 12-31.

(K. v.v. P.)
Do)

Kerr. Zitt.; III)

Zi Rb

* 16837

1978

(D₀; ?)

Gasparr R., et al.
Acta Phys. Acad. sci.
Hung. 1978, 40(4),
283-291.



(see Zi₂, III.)

hjz RB

1975

particul^{er} numbers,
no leptos.
R. Mex. pacific.

Mukherjee A.C. et al
J. Indian Chem. Soc.,
1975, 52, n^o 4, 378-381.

(soc. hz; II)

Rodi

December 6, 1978

Ray N.K., et al.

C. d. nocturnus
paeret
habrobleem
variegatus

Pramana, 1978,
10 (2), 201-206

Lif8+ [summer 4111] 1979

Koike F

nonedugual
baeueog.

Chem. Phys. Lett.
1979, 60, (2), 271-74.

Li Rb_2^+
 $\text{Li}_2 \text{Rb}^+$

Om. 14545

1981

12 Д60. Расчеты молекул методом псевдопотенциала. Ч. V. Равновесные геометрии и энергии диссоциации трехатомных ионов XY_2^+ , X_2Y^+ , Y_2H^+ ($\text{X}=\text{Li}, \text{Na}, \text{K}; \text{Y}=\text{Rb}, \text{Cs}$) и X_2H^+ , X_2Y^+ ($\text{X}, \text{Y}=\text{Cu}, \text{Ag}, \text{Au}$). Molecular pseudopotential calculations. V. Equilibrium geometries and dissociations of the XY_2^+ , X_2Y^+ , Y_2H^+ ($\text{X}=\text{Li}, \text{Na}, \text{K}; \text{Y}=\text{Rb}, \text{Cs}$) and X_2H^+ , X_2Y^+ ($\text{X}, \text{Y}=\text{Cu}, \text{Ag}, \text{Au}$) triatomic ions. Gáspár R., Tamássy-Lentei I. «Acta phys. Acad. sci. hung.», 1981, 50, № 4, 343—347 (англ.)

Методом псевдопотенциала вычислены равновесные геометрии, межъядерные расстояния, волн. ф-ции и энергии ионов, перечисленных в заглавии. Определены энергии диссоциации, связанные с реакциями: $\text{X}_2\text{Y}^+ \rightarrow \text{X}^+ + \text{XY}$; $\text{XY}_2^+ \rightarrow \text{Y}^+ + \text{XY}$ и $\text{Y}_2\text{H}^+ \rightarrow \text{Y}^+ + \text{YH}$. Ч. IV см. «Acta Phys. Hung.», 1978, 44, 191. Г. А.

(13)

и. л. , №,
Июль ,
Структура

92. 1982, 18, N/2

LiRb_2^+

(Ottawa 14545)

1981

96: 223598j Molecular pseudopotential calculations. V. Equilibrium geometries and dissociations of the XY_2^+ , X_2Y^+ , Y_2H^+ ($\text{X} = \text{Li}, \text{Na}, \text{K}; \text{Y} = \text{Rb}, \text{Cs}$) and X_2H^+ , X_2Y^+ ($\text{X}, \text{Y} = \text{Cu}, \text{Ag}, \text{Au}$) triatomic ions. Gaspar, R.; Tamassy-Lentei, I. (Inst. Theor. Phys., Kossuth Lajos Univ., 4010 Debrecen, Hung.). *Acta Phys. Acad. Sci. Hung.* 1981, 50(4), 343-7 (Eng). The equil. geometries, nuclear distances, wave functions and energies were calcd. for the titled compds. The dissocn. energies were calcd. of the $\text{X}_2\text{Y}^+ \rightarrow \text{X}^+ + \text{XY}$; $\text{XY}_2^+ \rightarrow \text{Y}^+ + \text{XY}$ and $\text{Y}_2\text{H}^+ \rightarrow \text{Y}^+ \rightarrow \text{YH}$ by using the pseudopotential method. The calcns. were performed using the Hellmann-type anal. potential with simple floating-type one-center wave function.

meopen
pacrem

(ftz) (7) \otimes



C.A. 1982, 96, N26.

Li_2Rb^+

Onnuck 14545

1981

Радиовеща-
тельный

Do,
meopem.
pacrem.

Gaspar R., Tamassy -
kentei I.,

Acta Phys. Acad. sci.
hung., 1981, 50, 4,

● 343-347.

Li Rb

Lommeck 14032

1982

Varandas A.J.C., Bran-
Kl. Mex. Dao J.,
pacem. Mol. Phys., 1982, 45,
N4, 857-875.

Osmium 15838

1982

RbLiRb
LiRbRb
LiRbLi
RbLiLi
Cryocryp-

Richtsmeier S.C., Hendewerk
et al.,
J. Phys. Chem., 1982, 86,
N^o20, 3932-3937.

Kirk 10 MARCH 1982

1982

Chekmpock.
no cm.

gunough.
clowethm.

Szentpaly L., Fuentelba P.,
et al.,

Chem. Phys. Lett., 1982,
93, N6, 555-559.

LiRb

(Dissert. 15872)

1982

Szentpaly L., Fuentealba P.,
et al.,

D₂, g

Chem. Phys. Lett., 1982,
93, N 6, 555-559.

RbLiCl₂

1983

У 1 Б2032. Синтез и кристаллическая структура смешанного щелочного и металлического хлорида RbLiCl₂. Synthesis and crystal structure of the inter-alkali-metal chloride RbLiCl₂. Gaebel Hans-Christian, Meyer Gerd, Hoppe Rudolf. «Mater. Res. Bull.», 1983, 18, № 4, 429—436 (англ.)

Осуществлен синтез (взаимодействием в атмосфере Ag при т-ре 400° С хлоридов RbCl и LiCl, предварительно высушенных в токе сухого HCl при т-ре 200° С) и рентгенографич. исследование (методы порошка, качания, Вейсенберга, прецессии и дифрактометра, анизотропный МНК, $R = 0,062$ для 373 отражений) кристаллов RbLiCl₂ (I). Параметры ромбич. решетки: $a = 14,413 \text{ \AA}$, $b = 4,1257$, $c = 7,209$, $Z = 4$, ф. гр. *Cctm*. Тетраэдры LiCl₄ (Li—Cl 2,345, 2,410 Å) соединяются вершинами в слои $[\text{LiCl}_{4/2}]_{\infty 2}^-$, параллельные плоскости (100). Располагающиеся между слоями атомы Rb находятся в 8-кратной координации в виде двухшапочной тригон. призмы (Rb—Cl 3,313—3,711 Å). Многогранники вокруг атома

структура

Х. 1984, 19, N1

Rb соединяются между собой гранями и ребрами. Отмечено существенное отличие структуры I от изоструктурных RbLiF₂ и CsLiF₂ и ее родство со структурой SrSnO₂. Осуществлен подсчет составляющей Маделунга в общей энергии решетки, давший хорошее соответствие с суммой значений для простых хлоридов. По данным высокотрного рентгеновского исследования пиритектич. разложение I имеет место при т-ре 327° С. Приведены значения I , $d(hkl)$ рентгенограммы порошка I и фазовая диаграмма системы RbCl—LiCl.

С. В. Соболева

RbLiMoO₄

1983

) 2 Б2030. Кристаллическая структура нового сегнетоэлектрика RbLiMoO₄. Круглик А. И., Клевцова Р. Ф., Александров К. С. «Докл. АН СССР», 1983, № 6, 1388—1391

Определена структура (λ Mo, 764 отражения, анизотропный МНК до R 7%) наиболее искаженной фазы кристалла RbLi—MoO₄, к-рая реализуется при комн. т-ре и обладает кристобалитовым каркасом. Параметры решетки: a 10,018, b 11,272, c 5,702 Å, γ 125,80°, Z 4, ф. гр. $I\bar{1}11/b$. Проведено сравнение структур монокл. и кубич. фаз и показано, что основные изменения в структуре RbLiMoO₄ определяются поворотами MoO₄-тетраэдров на 20° без их существенных искажений. Анализ структурных данных и кристаллохим. соображения позволяют утверждать, что, по крайней мере, один из фазовых переходов в этом соединении связан с упорядочением MoO₄-тетраэдров.

Из резюме

*Кристал-
структура*

X·1984, 19, N2

RbLi

[Om. 18312]

1984

Engelke F, Ennen G,
et al.,

checkup

Chem. Phys., 1984, 83,
Nt-d, 187-202.

RBZi

1984

Engelke Friederich.

cl. n.,
0530p.

Atom. Phys. & Int. Conf.
Washington, July 23-27,
1984. Singapore, 1984,
313-337.

(Ccl. Nak; III)

Li Rb

1985

Kappes Manfred et al.,
Schär Martin, et al.

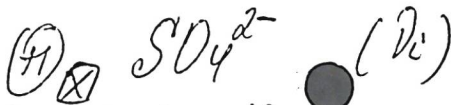
(5) Z. Phys. Chem., 1985, 89,
N 8, 1499-1504.

● (Ca, Li Na; III)

LiRbSO₄ (Om. 21964) 1985

103: 95323q Vibrational spectra of lithium rubidium sulfate (LiRbSO₄). Ramakrishnan, V.; Nayar, V. U.; Aruldas, G. (Dep. Phys., Univ. Kerala, Kariavattom, Trivandrum, 695 581- India). *Infrared Phys.* 1985, 25(4), 607-10 (Eng). The IR and Raman spectra of LiRbSO₄ were recorded and analyzed on the basis of vibrations of the SO₄²⁻ ion. The splitting of the nondegenerate sym. stretching mode of the SO₄²⁻ ion into 3 components in the Raman suggests the possibility of resonance interaction between SO₄²⁻ ions in the unit cell. The linear distortion of the SO₄ tetrahedra seems to be greater than the angular distortion.

(lk u CKP)



c.A.1985, 103, N/2

LiRbSO_4

1986

Chary B. Raghuratha,
Chandrasekhar P., et al.

UK creamp, J. Raman Spectrosc.

Vi; 1986, 17(1), 59-63.

(eas. LiRbSO_4 ; $\frac{T}{\Delta T}$)

LiRb

1986

Igel-Menn G., Wedig U.,
et al.

et. al.

J. Chem. Phys., 1986,
84, N9, 5007-5012.

( Li; III)

LiR8

1986

Lombardi Ermilio,
Tanser Laerens.

(ρ_e, τ_e, ω_e) Phys. Rev. A: Gen.
Phys. 1986, 33(5),
2907-12.

(Cu-Li₂; III)

Rbdiz

Lote. 25885)

1986

meopem.
pacem.
empyem.
u stcoperem.

Varandas A. J. C.,
Moraes V. M. F.,
Paes A.A. C. C.

Mol. Phys., 1986,
58, N2, 285 - 297.

Likh2

[oeuv. 25885] 1985

meophem.

pacrim

copykm.

4 steepren. 580, N2, 285-297.

Varandas A.J.C.,
Morais V.M.F.,
Paix A.A.C.C.

Mol. Phys., 1986,
58, N2, 285-297.

LiRb_2

(Dn. 24951)

1986

$(M^1 M^=$
 $\text{Li} \div \text{Cs})$
поверхн.
потенц.
Энергия,
теор.
расчет.

Varandas A.J.C., Moraes
V.M.F., Pais A.A.C.C.,
Mol. Phys., 1986, 58,
N 2, 285-297.

RbLiSO₄

1987

1 E284. Термодинамические свойства кристаллов LiRbSO₄ и LiCsSO₄ при низких температурах. Low-temperature thermodynamic studies on LiRbSO₄ and LiCs-SO₄ crystals. Abello L., Chhor K., Pommier C. «J. Chem. Thermodyn.», 1987, 19, № 8, 797—808 (англ.)

В интервале т-р 10—300 К исследованы тепловые свойства LiRbSO₄ и LiCsSO₄. Методом дифференциальной сканирующей калориметрии и по измерениям теплоемкости в этих соединениях обнаружены аномалии при 260 К, которые зависят от размера кристаллов и тепловой истории образцов.

G, T_{c2}

(1)



cf. 1988, 18, n/

LiB

(OM. 27606)

1987

Bussery B., Schrar Y., et al,
Chem. Phys., 1987, 116, W3,
319 - 338

Teop.
pacres.

● (cell Li₈; 111)

Lipshitz |05.27057| 1987

Jenc G., Brandt B. A.,

Do, et. al.

Phys. Rev. A: Gen. Phys.,
1987, 35, N9, 3784-



-3792.

LiRb

1989

Jenč F., Brandt B.A.

J. Chem. Phys. 1989.

čl. n.

91, N6. C. 3287 - 3295.

(cel. LiNa; III)

LiRB

1994

Gaspar R., Szabo J.

re, my gp., Acta Phys. Hung.
meop. 1994, 74(4), 391-8.

pacem

(ceg. Li_2 ; II)

RbC₆₀

1997

128: 107833n Low-frequency Raman-scattering investigation of RbC₆₀. Sauvajol, Jean-Louis; Anglaret, Eric; Girard, Alain; Moreac, Alain; Ameline, Jean-Claude; Delugeard, Yvon; Forro, Laszlo (Groupe de Dynamique des Phases Condensees, Universite Montpellier II, Montpellier, Fr.). *Phys. Rev. B: Condens. Matter* 1997, 56(21), 13642-13645 (Eng), American Physical Society. The authors present a low-frequency Raman study of RbC₆₀ in its orthorhombic polymer phase. The Hg(1) mode splits in three components at the polymer-orientationally-disordered-monomer phase transition ($T_{pd} \approx 400$ K). The authors use this split as a probe of the state of the sample to study the temp. dependence of the low-frequency (~ 30 cm⁻¹) peak characteristic of the polymer phase. In the whole polymer-phase temp. range, the behavior of the mode is that expected for regular anharmonicity. No significant change is obsd. at the metal-insulator transition temp. ($T_{mi} \approx 50$ K). By

contrast, the peak vanishes at T_{pd} in agreement with recent inelastic neutron scattering, confirming its assignment to a twist mode of the chains.

C.A. 1998, 128, N9

Rb C₇₀

1997

128: 107844s Spectroscopic evidence for dimer formation in Rb₁C₇₀ compounds. Schober, H.; Renker, B. (Institut Laue-Langevin, F-38042 Grenoble, Fr.). *Solid State Commun.* 1997, 104(10), 609-613 (Eng), Elsevier Science Ltd.. The authors present inelastic neutron scattering (INS) and Raman results on Rb₁C₇₀ powders. Well-structured INS intensities are obsd. in the gap region which separates internal from external vibrations in monomer fullerene compds. These intensities constitute strong spectroscopic evidence for the formation of charged (C₇₀)₂⁻² dimers in Rb₁C₇₀. Above 400 K the amt. of dimers decreases with temp. However, no transition to a pure rotator phase is obsd. up to 500 K indicating a remarkably high stability of the C₇₀ dimers. The dimer formation is fully reversible.

C.A. 1998, 128, N9

F: LiRb

P: 3

21Б115. Расчет димеров щелочных элементов на основе модельной теории возмущений / Глушков А. В., Малиновский А. В., Ефимов В. А., Кивганов А. Ф., Хохлов В. Н., Витавецкая Л. А., Боровская Г. А. // Ж. структур. химии. - 1998. - 39, 2. - С. 222-230.
- Рус.

На основе псевдопотенциального подхода в рамках модельной формально точной теории возмущений типа Рэлея - Шредингера с затравочным потенциалом нулевого приближения рассмотрена задача расчета некоторых щелочных двухатомных молекул в гомо- и гетероядерных вариантах КМ ($M=Li, Na, K, Rb, Cs$). В качестве потенциала нулевого приближения

1998

РХХ, 1998, №2

используется локальный модельный потенциал типа Геллмана. Приведены результаты расчета энергетических параметров, в частности энергий диссоциации; часть результатов получена впервые. Расчет продемонстрировал принципиально важную роль в достижении приемлемой точности двух основных эффектов второго порядка теории возмущений: эффекта поляризационного взаимодействия валентных частиц через остов и взаимного экранирования их друг другом. Библ. 35.

$\text{Li}_x \text{Rb Mo}^{\text{III}} (\text{MoO}_4)_y$ 1998
 Mo^{III} -жакшары, χ_{bi} Fonicher V. V., et al;

Ж. Неorg. хим., 1998,
43 (11), 1889 - 1893.
ук
снекинг

(ал. $\text{LiK} \bullet \text{Mo}^{\text{III}} (\text{MoO}_4)_y$; $\text{Mo}^{\text{III}} \text{-} \chi_{\text{bi}}$)

R&Li

1998

Flushkov A.N. et al.,

Д.д.н., Ж. Апл. Геотехн.
рәсем 1998) 15 (3), 343-350

(ад. №2; II)

1998

F: LiRb

P: 3

130:257571 Calculation of alkali-metal dimers
on the basis of a model perturbation theory.

Glushkov, A. V.; Efimov, V. A.; Gopchenko,
E. D.; Dan'kov, S. V.; Polishchuk, V. N.;
Shpinareva, I. M. (Odessa Hydrometeoro Institute,
Ukraine). Russ. Phys. J., 41(5), 492-498
(English) 1998 On the basis of
pseudopotential theory, within the framework of a
formal accurate model perturbation theory of
Rayleigh-Schrodinger type with a ze approxn.
inoculating potential, the calcn. of some diat.

alkali mols. in and heteronuclear variants LiM ($M = \text{Li}, \text{Na}, \text{K}, \text{Rb}, \text{Cs}, \text{Fr}$) is considered. local model potential of Gell-Mann type is adopted as the zero-approxn. potential. The calcn. results for the energy parameters - in particular, energy of dissocn. - are given; some of these results are obtained here f first time. The calcn. demonstrates the fundamental role of two basic se order perturbation-theory effects in achieving acceptable accuracy: polarizational interaction of the valence particles through the core; and screening of these particles.

F: LiRb
P: 3

Lg. 40259 a

2000

133:49159 Theoretical study of the electronic structure of the LiRb and NaRb molecules. Korek, M.; Allouche, A. R.; Kobeissi, M.; Chaalan, A.; Dagher, M.; Fakherddin, K.; Aubert-Frecon, M.

Beirut Arab University Beirut, Lebanon

Chem. Phys., 256(1), 1-6 (English) 2000

The potential energy has been calcd. over a wide range of internuclear distances for the 28 lowest mol. states of LiRb and NaRb mols., using an ab initio method based on non-empirical pseudopotentials, parametrized l-dependent polarization potentials and full valence CI calcns. Mol. spectroscopic consts. have been derived for

C.A. 2000

the bound states with a regular shape. A good description of the exptl. known ground state for NaRb is obtained. Tables providing extensive data of energy values vs. internuclear distances are available at the following address [htt
P://lasim.univ-lyon1.fr/allouche/lirbnarb.htm](http://lasim.univ-lyon1.fr/allouche/lirbnarb.htm).

F: LiRb

P: 3

133:49159 Theoretical study of the electronic
structure of the LiRb and N molecules.

Korek, M.

Allouche, A. R.; Kobeissi, M.; Chaalan, A.; Dagher,
Fakherddin, K.; Aubert-Frecon, M. Beirut Arab
University Beirut, Lebanon Chem. Phys.,

256(1), 1-6 (English) 2000 The potential energy has
been calcd. over a wide range of internuclear distances
for the 28 lowest mol. states of LiRb and NaRb mols.,
using an initio method based on non-empirical
pseudopotentials, parametrized 1-dep polarization
potentials and full valence CI calcns. Mol.
spectroscopic c have been derived for the bound states
with a regular shape. A good desc of the exptl. known
ground state for NaRb is obtained. Tables providing
extensive data of energy values vs. internuclear
distances are available following address [htt
P://lasim.univ-lyon1.fr/allouche/lirbnarb.htm](http://lasim.univ-lyon1.fr/allouche/lirbnarb.htm).

ST 40259a

2000

C-A. 2000, 133